

## 航路交差部における船舶衝突事故率の推定

京都大学工学部 正会員 黒田 勝彦  
京都大学工学部 正会員 ○喜多 秀行

### 1.はじめに

船舶が大型化、高速化するとともに船舶交通量が増加し、主要狭水路や港湾に沿うる航路で頻繁な頭着となってきた。また、タンカーやLNG船といった危険物輸送船の増加は、一につい事故が発生した場合の莫大な経済的損失と環境への被害の発生を意味する。このような背景のもとで、水路の計画や設計を行なうにあたり安全性に対する検討が経済性に対するものと同様不可欠なものとなり、海難事故の分析と事故防止のための研究が要請されている。

筆者らは、航路計画に資することを目的とする立場から、まず、交通事故的海難、なかでも大きな割合を占める衝突事故に着目し、衝突事故率と交通特性、航路特性との関係を明らかにしていく。このうち、横切りのない直線航路における衝突確率推定モデルを既に提案した。<sup>1),2)</sup>しかしながら、分析の対象とするべき狭水路は陸地が接続している箇所であるがために横断交通量が無視できない程度多い所があり、また、今後交通量が増加する際に交錯が生じ事故の危険度が高くなるのは航路交差部であると考えられるため、今回横切り船舶を考慮できるよう先のモデルの拡張と図3をとするものである。

本研究では、まずモデルの作成にあたって設定した前提を列挙し、衝突確率推定アロマスの概要を述べる。次に、出会い隻数から見て出会い時の避航失敗確率から航路交差部における衝突確率を導く。そして、実際の航路交差部を例に推定値と実験値を比較することによりモデルの妥当性を検討し、航路、交通特性に関する感度分析も行なう。

### 2.衝突確率の推定アロマス

#### 2-1 モデルの前提と避航動作のモデル化

解析の対象とする航路は、図-1に示す如く、長さ  $L_{C1}$ 、幅  $W_1$ 、より長い長さ  $L_{C2}$ 、幅  $W_2$  の2本の一様な水路が角度  $\theta$  で交差している航路区間である。この航路上を、避航時を除いて船舶は水路と平行に一定速度で航行し、その航行は互いに他と独立であるものとする。横切り船舶との衝突を論じる際には船舶の影響は小さいと考え、船舶と垂線間長  $L$  とその長さをもつ線分で表現し、船舶の船首側端点をもつてその船舶の位置とする。この線分が一部でも重なる場合を「衝突」、避航動作となることなくそのまま進む場合は「衝突」に至る位置関係にある状態を「出会い」と定義する。

交差する2船が出会いた時、どちらかの航路に優先指定がない限り、相手船と自船の右舷に見る船舶（義務船）のみが相手船の船尾側へ右転するよう避け動作をとり、自船の左舷に相手船を見る船舶（保持船）は速度、進行方向とも変更しないものとする。これは一般水域に沿うる避航方法を規定した海上衝突予防法に基づいている。また、避航障船の際機関の操作や投錨は行なわず、隻針のみによるものと仮定する。隻針に伴う航跡の変

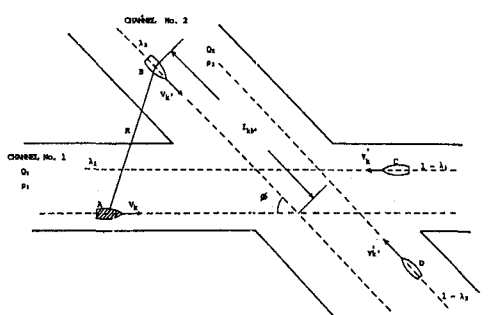


図-1 解析対象航路の概念図

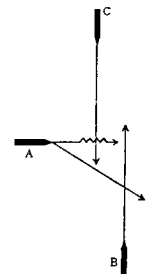


図-2 多重遭遇の一例

化は折線で近似し、変針角θは一定とする。しかし、時として2隻以上の船舶が同時に出会いの場合(多重遭遇)が生じ、その一例を図-2に示すが、現行の海上衝突予防法に従えば、図中の船舶Aは船舶Cに対して速度、進行方向を保持すると同時に船舶Bに対して避航動作をとらねばならないこととなり、実際上避航は状況に応じて各船舶の判断に委ねられているのが現状である。したがって、規範的な避航動作の記述も困難となるため、本研究では多重遭遇を考慮せず、2隻との出会いは1隻対1隻の出会いが想定されるものとする。

## 2-2. 衝突確率の推定プロセス

船舶は水路を航行する際、地形、潮流、規制等を考慮して一定のコースラインを設定し、それに沿って航行する。航行中に他の船舶と衝突する可能性が生じた場合には、これを避航することによって危険な状態と脱しようとするが、何らかの原因(前方不注意、操船ミス等)により相手船を完全に避航しきれないとき衝突に至る。

図-3に、本モデルによる、1隻1トリップ当たりの衝突確率を推定するプロセスを示す。モデルへの入力は水路特性、交通特性、ならびに船舶特性であり、気象、海象等の自然条件と操船者特性は、その平均的な状態あるいはばらつきの程度が、観測値として取り込まれている船舶運動に反映されているものと考えられる。

まず、交通特性、水路特性、船舶特性から、2船間の避航失敗確率と交差部で出会いう船舶の隻数である確率を、それぞれ出会い形態(保持船としての出会い、義務船としての出会い)別、船型別、速度別に導く。そして、船型K、速度VKを有する着目船が船型K'、速度V'K'を有する相手船のどの1隻とも衝突するこなく航路交差部を通過する確率を求め、その余事象の確率として航路交差部内での船型別、速度別衝突確率を求める。そして、着目船、相手船の船型、速度に関する期待値をとりにより、任意船舶の平均的な衝突確率が得られ、これを航路交差部が有する衝突危険度とする。このようにして計算される航路交差部の衝突危険度と、別途求めた同航、反航船に対する衝突危険度から、解析の対象とする航路区間の総合衝突危険度が求まる。

## 3. 衝突確率推定モデル

### 3-1. 出会い隻数とその確率

まず、出会いの形態について考える。着目船Aが相手船Bと出会い際に、船Aが船Bに対して保持船(Stand-on Vessel)となり場合と義務船(Give-way Vessel)となる場合の2つの形態があり、以下、前者には添字S、後者には添字Gとつけて区別する。今、着目船が保持船である場合を考える。図-4において、衝突が起きた瞬間、航路1と航行する船Aから見て最も早い時期(船Bがそれ以上早く通過すれば衝突しないという意味で)にあたるのが(a)であり、最も遅い時期(船Bがそれ以上遅く通過すれば衝突しないという意味で)にあたるのが(b)である。

図-5の位置における船Aが船Bと衝突するまでの進路距離は、船Aと両船の進路の交点Oとの距離をa、船Aと船Bの船舶長をLK、LK'にして、それがaおよびa+LKであるから、図-5の状態から図-4(a)、(b)の状態へ移る時間t<sub>1</sub>、t<sub>2</sub>は、

$$\left. \begin{aligned} t_1 &= \frac{a}{V_K} \\ t_2 &= \frac{a+L_K}{V_K} \end{aligned} \right\} \quad \text{---(1)}$$

図-4 衝突の時機と位置関係

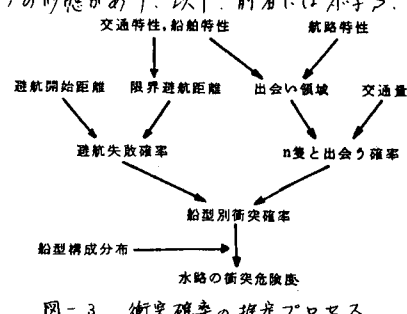


図-3 衝突確率の推定プロセス

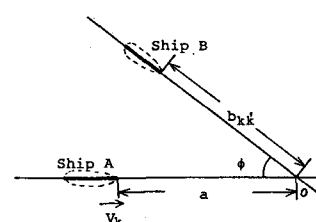
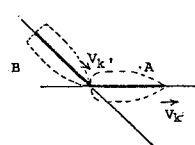


図-5 進路交点までの距離

でえらわれる。両船の進路の交点から船Bの船首までの距離を $b$ とすれば、最も早い時期のお会いとなる船Bの位置 $b_1$ と、最も遅い時期のお会いとなる船Bの位置 $b_2$ は、それぞれ、

$$\left. \begin{aligned} b_1 &= t_1 V_{K'} - L_{K'} = \alpha \frac{V_{K'}}{V_K} - L_{K'} \\ b_2 &= t_2 V_{K'} = (\alpha + L_K) \frac{V_{K'}}{V_K} \end{aligned} \right\} \quad \text{--- (2)}$$

とする。ここで $V_K$ 、 $V_{K'}$ は船A、Bの速度である。これより、任意の位置を航行する船Aと航路交差部で出会う船は、両船の進路交点のから距離 $b_1$ と $b_2$ の間を航行している船であることがわかる(図-6)。船Bの進路は航路2の航路幅方向の全ての位置をとりうるため、結局、図-7に示す斜線の領域(出会い領域)に存在する船舶が交差部で船Aと出会うことになる。ここで、このようにしてえらわれる出会い領域の面積は、船Aと船Bの速度 $V_K$ と船舶長、航路交差角のから定まり、船Aの位置には依存しないことに注意しておく必要がある。

次に、出会い領域内に存在する船舶数を求めよう。航路上を航行する船舶が見通し線上に到着する到着時間間隔はボアソニア分布に従うことが報告されている<sup>3)</sup>。これを基に、各船型別に見た船舶到着時間間隔の分布もボアソニア分布に従うものと仮定する。船型 $K$ の着目船の船型 $K'$ の相手船数と出会う確率 $P_{ENC}(n|K, K', V_K, V_{K'})$ は、着目船の出会い領域に船型 $K'$ の船が $n$ 隻存在する確率であることに述べた。

これは、

$$St = \frac{b_2 - b_1}{V_{K'}} = \frac{L_K}{V_K} + \frac{L_{K'}}{V_{K'}} \quad \text{--- (3)}$$

でえられる時間間隔 $St$ に、出会い領域の上流側の境界線上を船型 $K'$ の船が $n$ 隻通過する確率に等しい。したがって、船型 $K$ 、速度 $V_K$ の着目船Aが船型 $K'$ 、速度 $V_{K'}$ の相手船 $n$ 隻と出会う確率 $P_{ENC}(n|K, K', V_K, V_{K'})$ は、船Aを保降船と考えて $n$ 以下の添字 $S$ をつけて、

$$P_{ENC}^S(n|K, K', V_K, V_{K'}) = \frac{\{\lambda_2 + Q_2 \cdot \varphi_2(K) St\}^n - \lambda_2 \cdot Q_2 \cdot \varphi_2(K) St}{n!} \quad \text{--- (4)}$$

と計算される。ここに、 $\lambda_2$ は航路2における方向別交通量比(1方向交通量と全交通量の比)、 $Q_2$ は航路2の交通量、 $\varphi_2(K)$ は船型 $K$ の船舶の全交通量に対する確率密度である。

船型 $K$ を船舶長 $L_K$ で表わすと、 $log L_K$ が正規分布 $N(\mu_{log L_K}, \sigma_{log L_K})$ に従うことが知られている<sup>4)</sup>。着目船Aが義務船となる場合は航路2を逆方向に航行する船舶を考えればよから、方向別交通量比の $\lambda_2$ を変えて、次式となる。

$$P_{ENC}^G(n|K, K', V_K, V_{K'}) = \frac{\{(1-\lambda_2) Q_2 \varphi_2(K) St\}^n - (1-\lambda_2) Q_2 \varphi_2(K) St}{n!} \quad \text{--- (5)}$$

### 3-2 避航失敗確率

図-8は衝突の形態を示したものである。前節で述べた最も早い時期に衝突する船が衝突を回避するためには、船首が着目船の進路と横切る時点で、 $d_{KK'}$

$$d_{KK'}^S = L_K + \frac{V_K}{V_{K'}} \cdot L_{K'} \quad \text{--- (6)}$$

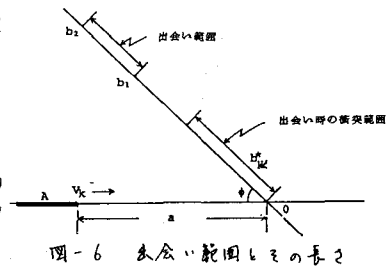


図-6 出会い範囲とその長さ

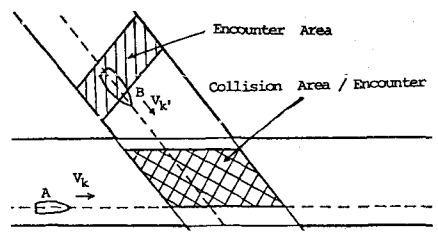


図-7 出会い領域と衝突領域

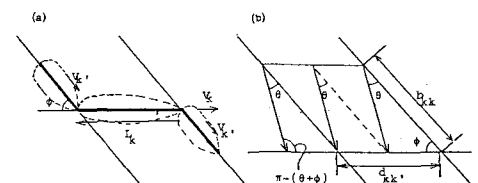


図-8 出会いの時期と避航航跡

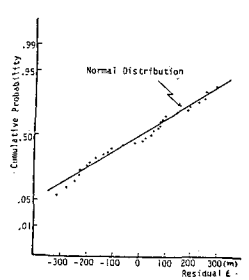


図-9 避航開始距離のランダム項の分布

だけ側方に変位する二つが必要である。そこで、船首と船尾の同じ航跡を下にまとめて、避航航跡(F(b))の如く示される。これより、2船舶の出会いの時期によって、避航のため側方に変位すべき距離は0~ $b_{KK'}$ であり、その距離はランダムに定まる。そこで、平均距離  $a_{KK'}/2$  をもってこの距離を代表すると、変針角θのもとで、着目船の進路と横切る時点で  $a_{KK'}/2$  以上変位するために避航を開始しなければならぬ距離の最小値  $b_{KK}'$  を避航限界距離と呼ぶことにすると、 $b_{KK}'$  は、

$$\frac{b_{KK}^*}{\sin(\pi - (\phi + \theta))} = \frac{a_{KK}'/2}{\sin \theta} \quad \cdots \cdots (8)$$

（3）条件と(6)式から

$$b_{KK}' = \frac{\sin(\phi + \theta)}{2 \sin \theta} \left( L_K + \frac{V_{K'}}{V_K} \right) L_{K'} \quad \cdots \cdots (9)$$

として与えられる。着目船Aを避航すべき相手船Bが、進路交点Oから距離0~ $b_{KK}'$  の範囲で避航を開始しようとしても両船は衝突を免れかねない。着目船Aの義務船とのときは  $\phi = \pi - \theta$  とし、船型に関する添字KとK'を交換して次式となる。

$$b_{KK}' = \frac{\sin(\phi - \theta)}{2 \sin \theta} \left( L_K + \frac{V_{K'}}{V_K} \right) L_K \quad \cdots \cdots (10)$$

次に、着目船Aを避航すべき相手船Bが避航に失敗し、衝突する確率を求めよう。義務船が避航を開始した地点から保持船の進路との交点までの距離を「避航開始距離」  $l_{KK'}$  と名付ける。この避航開始距離は船舶特性、交通特性等により異なる値をとり、かつ保持船特性や自然条件によらずつきを持てることを考え、

$$l_{KK'} = \bar{l}_{KK'} + \varepsilon \quad \cdots \cdots (11)$$

と表わす。ここで、 $\bar{l}_{KK'}$  は上述の諸特性の関数となり、それはランダム変数である。運輸省オニタツ建設局の観測結果より、 $\bar{l}_{KK'}$  は義務船の総トン数  $G_{TK'}$ 、義務船の速度  $V_{K'}$ 、避航開始時の2船間の距離  $R$  の関数とすれば説明力が高く、その時の残差との分布は平均値の正規分布と見なすことができる、 $\varepsilon$  は残差の分布の1例を図-9に示す。このことより、着目船および相手船の避航開始距離分布  $\varphi(l_{KK'})$ 、 $\varphi(l_{KK}^*)$  (11式で表わされる)。

$$\begin{aligned} \varphi(l_{KK}') &= \bar{l}_{KK'}(G_{TK'}, V_{K'}, R | K, K') + \varepsilon(0, \sigma^2) \\ \varphi(l_{KK}^*) &= \bar{l}_{KK'}(G_{TK}, V_K, R | K, K') + \varepsilon(0, \sigma^2) \end{aligned} \quad \cdots \cdots (12)$$

上式で表わされる避航開始距離分布  $\varphi(l_{KK}^*)$ 、 $\varphi(l_{KK}')$  を用いて、船型、速度がそれぞれ  $K'$ 、 $V_{K'}$  の義務船が同じく  $K$ 、 $V_K$  の保持船に出会い、下障の避航失敗確率  $P_F^*(K, K', V_K, V_{K'})$  (I)、相手船の避航開始距離  $l_{KK}'$  が限界避航距離  $b_{KK}'$  より小なりの確率として次式で表わされる。

$$\begin{aligned} P_F^*(K, K', V_K, V_{K'}) &= \text{Prob}[l_{KK}' \leq b_{KK}^*] = \int_0^{b_{KK}^*} \varphi(l_{KK}') d l_{KK}' \\ P_F^*(K, K', V_K, V_{K'}) &= \text{Prob}[l_{KK}^* \leq b_{KK}^*] = \int_0^{b_{KK}^*} \varphi(l_{KK}^*) d l_{KK}^* \end{aligned} \quad \cdots \cdots (13)$$

### 3-3 航路交差部における衝突確率

航路交差部について、船型  $K$  の着目船(保持船)と船型  $K'$  の義務船と衝突するやすく交差部を通過しそうな確率  $P_{\text{safe}}$  は、(13)式の避航失敗確率  $P_F^*(K, K', V_K, V_{K'})$  と(4)式の出会い隻数の確率  $P_{\text{ENC}}(n | K, K', V_K, V_{K'})$  により、

$$P_{\text{safe}}^*(K, K', V_K, V_{K'}) = \sum_{n=0}^{\infty} \{1 - P_F^*(K, K', V_K, V_{K'})\}^n \cdot P_{\text{ENC}}(n | K, K', V_K, V_{K'}) \quad \cdots \cdots (14)$$

で表わされる。ここで、 $P_F^*(K, K', V_K, V_{K'}) \ll 1$  であるので上式は次のようにならざる。

$$P_{\text{safe}}^{\delta}(K, K', \overline{V}_K, \overline{V}_{K'}) = \sum_{n=0}^{\infty} \left\{ 1 - n \cdot P_F^{\delta}(K, K', \overline{V}_K, \overline{V}_{K'}) \right\} \cdot P_{\text{enc}}(n | K, K', \overline{V}_K, \overline{V}_{K'})$$

$$= 1 - \lambda_2 Q_2(\varphi_2(K')) \otimes P_F^{\delta}(K, K', \overline{V}_K, \overline{V}_{K'}) \quad \text{-----(14)'} \quad$$

入<sub>2</sub>Q<sub>2</sub>( $\epsilon_2(K)$ )S<sub>2</sub>は航路2を航行する3船型K'の義務船の時間あたりの交通量である。着目船は義務船と「3場合」の非衝突確率  $P_{safe}^G(K, K', D_K, D_{K'})$  を同様に。

$$P_{\text{safe}}^q(K, K', V_K, V_{K'}) = 1 - (1 - \lambda_2) Q_2 \varphi_2(K') \delta t \cdot P_F^q(K, K', V_K, V_{K'}) \quad \dots \quad (15)$$

で与えられる。(したがって、船型 K, 速度  $D_K$  の着目船が、交差航路を通航する船型  $K'$ , 速度  $D_{K'}$  のいずれとも衝突しない確率  $P_{\text{safe}}(K, K', D_K, D_{K'})$  は、次式の如く両者の積として得られる。

$$P_{\text{safe}}(k, k', \bar{v}_k, \bar{v}_{k'}) = P_{\text{safe}}^F(k, k', \bar{v}_k, \bar{v}_{k'}) \cdot P_{\text{safe}}^G(k, k', \bar{v}_k, \bar{v}_{k'})$$

以上の議論は、ある特定の船型・速度を有する着目船と相手船についてなされてきたが、実際の船舶交通流では船型・速度は広範囲にわたっていふ。されば、横切り船舶に対する平均的な衝突危険度  $P_{c, \text{cross}}$  は、全ての船型・速度の船舶が衝突しないとする事象の余事象の確率として求めなければならない。藤井は実態観測調査とともに、船型構成分布  $\psi(L)$  と船型別航行速度分布  $\psi(V_L)$  の分布形を明らかにしていふ。これを用いて、横切り船舶に対する平均的な衝突危険度  $P_{c, \text{cross}}$  は次のようく定式化される。

$$P_{c,\text{cross}} = 1 - \int_0^M \int_0^M \int_0^M \int_0^M \left\{ 1 - P_{\text{safe}}(k, k', D_k, D_{k'}) \right\} \varphi_1(l_k) \varphi_2(l_{k'}) \varphi(D_k) \varphi_2(D_{k'}) dD_k dD_{k'} dl_k dl_{k'} \dots \quad (7)$$

左方、交差航路における 3-D ティルの衝突危険度  $P_c$  は、反航船と同航船に対する衝突危険度  $P_{c,straight}$  を以下に横切り船に対する衝突危険度  $P_{c,crossing}$  次式で与えられる。

$$P_c = 1 - (1 - P_{c,\text{straight}}) \cdot (1 - P_{c,\text{cross}}) \quad \text{--- (18)}$$

#### 4. 推定結果とその検討

#### 4-1 備讃瀬戸への適用

交差部が航路指定されていきる備護瀬戸東部および西部(図-10)に対して本モデルを適用し、衝突危険度を求めた。ただし、東部では備護瀬戸東航路(両側通行)が宇高東航路、宇高西航路(そのうち片側通行)と、西部では備護瀬戸化航路(片側通行)が水島航路(両側通行)と交差するものとして衝突確率を求め、備護瀬戸南航路は交差のない航路として扱った。また、交差部における左折船舶は全交通量に占める割合が少ないとてもあり、今回は考慮しないものとする。モデルへのインプット・データを表-1に示す。

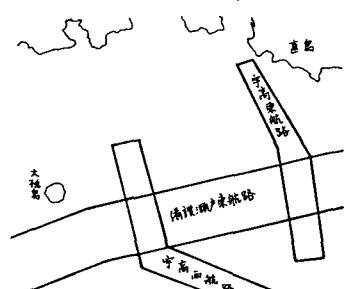
### 三五、備讃瀬戸東部

	L km	W m	Q ships/hr	$\lambda$	M	$\sigma$
東航路	37.0	1400	23.2	0.498	1.91	0.575
寧高航路	5.0	700	7.3	0.987	1.44	0.504
寧高西航路	6.0	700	7.7	0.987	1.47	0.517
北航路	22.0	700	13.3	0.013	1.71	0.463
水島航路	14.0	700	5.2	0.276	1.31	0.499
博航路	23.0	700	15.3	0.986	1.77	0.476

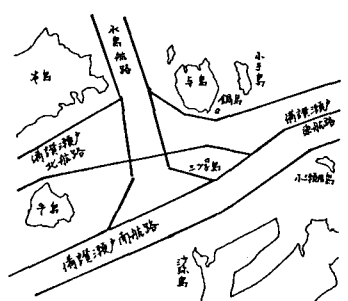
之優先指定位在了此

○：海上保安庁通航船舶実態調査報告書より1973～1977の5年間平均

了のうにわ、計算上、表-1 清瀬源戸における水循環量



a) 僞讚東部



### b) 满语西书

圖-10 满洲瀕戶航路圖

あたっては以下の事項を考慮した。最高速度制限は宇高東航路、西航路を除き12ノットである。備讃北航路は水島航路に優先する。また、避航開始距離を規定する(12)式の具体的な形は文献5により

$$\rho(l_{KK'}^S) = -177.1 + 12.0GTK' + 0.24TK' + 0.86R + N(0.243^2)$$

$$\rho(l_{KK'}^G) = -177.1 + 12.0GTK + 0.24TK + 0.86R + N(0.243^2)$$

とし、避航開始時の西航路間距離R(はデータの平均値から1,500m)とした。単位はGTがトン、Tが $\text{min}$ である。

本モデルによる推定値と実際の事故件数から求めた実積値、および藤井の方法(詳細は文献6を参照されたい)による推定値を比較したもののが表-2である。実積値と藤井の方法による推定値は、東部・西部とも航路全体にわたるものである。これらを比較してみると、本モデルによる推定値は、東部では実積値に近いものとなり、西部では実積値の1/2弱の推定値となる。これは、先に述べたように、東部では航路全体を対象として計算しているが、西部では対象として船舶(水島航路と北航路を運行する船舶のうち交差するものと、南航路を通過する船舶)の交通量が西部全体の交通量の約1/2であることに起因している。したがって、東部・西部とも推定値はほぼ妥当なものと見なすことができる。なお、どちらも実積値を下回る結果となるのは、モデルの簡略化のために誤りに仮定や考慮しなかった事項のうち、推定値を過少とするもの—多種遭遇を考慮しなかったこと、操業漁船が多い海域であるにもかかわらずその存在を無視したこと、夜間・狭視界の場合も視界の良好な時の諸数値を用いたこと等による影響が、推定値を過大とするもの—避航動作を変針のみに限定したこと等—による影響よりも大きいことによるものと考えられる。ただし、実積値として用いた数値が高々5年間の平均値であるため、実積値の精度そのものにも問題は残っている。表-3は東部海域の各航路ごとに更に細かく検討した結果である。実積値が個々の航路ごとに採られていないために比較することはできないが、交差部の衝突確率がそれ以外の区間に比べて高い傾向が読み取れる。

#### 4-2 航路・交通特性に関する感度分析

主航路に交差航路が1本交わる、4つの航路交差部を想定し、いくつかの航路特性、交通特性を変化させた場合の、主航路を通過する船舶の1トリップ当たり船舶の衝突確率を求めた。

図-11は、交差航路の交通量を変化させたものである。交差航路の交通量の増加は主航路を航行する船舶の衝突確率を増大させるが、今回は多種遭遇を考慮していないため、交通量が増えても衝突確率はほど急激に増大するといふ結果とはならなかった。

図-12は、航路の交差角と主航路の衝突確率との関係を示したものである。この結果からは航路が直角に交わる場合が最も危険と言える。そして、交差角を小さくする、道路におけるウェービング区間のように分合流を基本とした航路設定が事故率を小さくする観点から有利であることが明らかとなつた。この理由の1つは、避航開始距離は2船間の距離によって決定されると部分が大きくなる。航路交差角にはよらないため、同じ船間距離を有する

表-2 推定値と実積値との比較

	東航路	宇高東航路	宇高西航路
東部	$0.797 \times 10^{-4}$	$0.399 \times 10^{-4}$	$1.216 \times 10^{-4}$
西部	$0.323 \times 10^{-4}$	$0.852 \times 10^{-4}$	$1.172 \times 10^{-4}$

2隻であり、でも交差角が小さい時の方が衝突予想点(両船の航路の交点)に至る余裕時間が長く、避航に成功する可能性が高いためと思われる。また、避航のために必要となる側方変位量が、義務船から見た待避船(船舶長の射影)に比例するため、限界避航距離が交差角により変化することも影響している。

避航開始距離の変化が衝突確率に及ぼす影響を見たものが図-13である。ここでは(12)式で規定される避航開始距離分布とともに、分

表-3 備讃東部航路別衝突確率

散一定の主平均値の $\lambda$ を0.5～1.0倍に変えたものと示す。避航開始距離が小さくなるほど衝突確率は指数的に増大し、避航の遅れが危険度の増大に直結する事が読み取れ、濃霧等視界時に衝突事故が多発するとの裏づりともなっている。

## 5. 結論

本研究では、先に提案した横切りのない航路を対象とする3航路計画における諸操作変数と船舶の避航動態を考慮して構築された船舶衝突事故推定モデルと、横切りをも考慮に入れられるよう拡張をかり、交差航路における事故率推定モデルを提案した。そして、このモデルを備讃瀬戸の東部および西部海域に適用し、モデルの妥当性を明らかにした。さらに衝突確率に影響を及ぼす要因に関する感度分析を行ない、結果に関する考察を加えた。

拡張モデルは、同航、反航と横切りで避航・衝突を支配する要因が異なるため、岸動記述の簡略化等の取り扱いで横切りを考慮しないモデルと異なるところがあるが、基本的には互いに整合性のあるモデルとなっている。したがって、両モデルとも入力となる諸特性も共通であり、衝突することなく対象航路区間を通過し得る確率、 $P_{safe}$ の段階で、両者の結果は重ね合わされ可能である。簡略化の取り扱い、とりわけ船舶形状を表現する際に船舶長と船幅の双方を考慮することにより、横切りのない場合のモデルは、横切りを考慮したモデルの特殊な場合( $\phi = \pi/2$ )に帰着する。なお、今回は出会いの状態となる船舶の1隻対1隻の岸動を基に、個々の出会いが相互に影響を及ぼすことがないとの仮定を導入してモデルを作成したが、実際には図-2に例示した如く、この仮定が成立しない状況(多重遭遇)が生じることがある。また、操船者は自船の周囲の全ての船舶および航路側端に注意を払いながら航海しており、複数の相手船と船群を考えて、この船群に対する避航といいたものを考える必要も出てくると思われる。これらの扱いについては今後の課題としたい。

最後に、計算面で運輸省高橋吉二氏(元京都大学大学院生)の協力を得たことに対し、謝意を表する次第である。

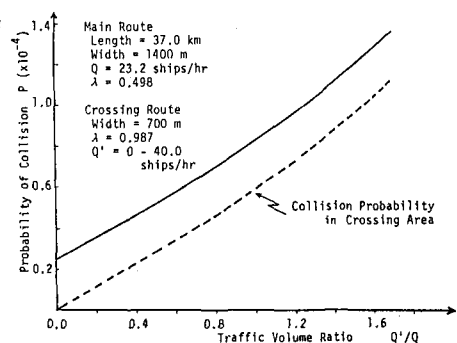


図-11 交差交通量と衝突確率との関係

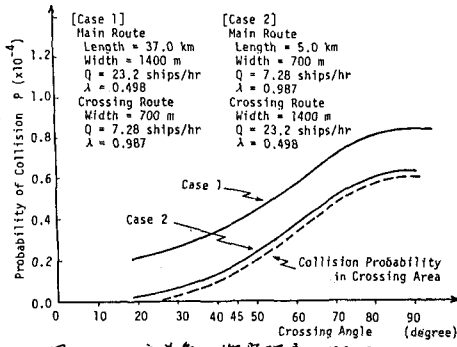


図-12 交差角と衝突確率の関係

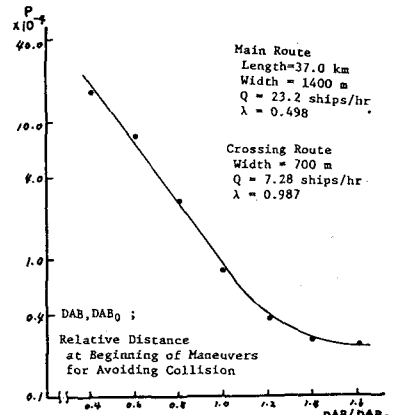


図-13 避航開始距離と衝突確率の関係

## 参考文献

- 1) K.Kurada, H.Kita, S.Kono; Mathematical Model of Ship Collision Probability, Memoirs of the Fac.of Eng., Kyoto University, Vol. XLIV, Part 1, pp.135~157, 1982. 1 2) 黒田勝彦著「航行・船舶衝突確率の推定モデル」工学会論文報告集(投稿件) 3) 原深; 船舶交通の統計的特性—I, 日本航海学会誌, No.35, pp.77~83, 1966.7 4) 藤井竹平; 序説海上交通工学 pp.8~90, 海文堂, 1971.11 5) 運輸省第三港湾建設局; 航海再編成調査(航路容量調査)報告書, pp.36~40, 1972.3 6) 藤井竹平; 避航と衝突の確率について, 日本航海学会創立20周年記念論文集, pp.63~73, 1968.7